

К ТЕОРИИ ПУЧКОВЫХ ОБРАТНЫХ СВЯЗЕЙ В ГЕНЕРАТОРАХ С ВИРТУАЛЬНЫМ КАТОДОМ

И.И. Магда, А.В. Пащенко, С.С. Романов, И.Н. Шапова,

Институт плазменной электроники и новых методов ускорения, ННТЦ ХФТИ, 61108, г. Харьков, ул. Академическая, 1, Украина, imagda@online.kharkiv.com;

В.Е. Новиков

НТЦ «Электрофизической обработки» НАНУ, 61002 г. Харьков, а.я. 8812, Украина

Рассмотрена самосогласованная нестационарная модель пучковой обратной связи в приборах с виртуальным катодом (ВК), использующая неустойчивость потока в катод-анодном промежутке и нелинейное взаимодействие частиц с колебаниями ВК. Нелинейные процессы в этих областях описываются на основе взаимодействия связанных генераторов Ван дер Поля - Дуффинга.

1. ВВЕДЕНИЕ

Обратные связи (ОС) по пучку и электромагнитному полю эффективно используются для повышения КПД и управления характеристиками реально существующих микроволновых приборов с ВК [1,2]. Во многих работах выполнены численные эксперименты, подтверждающие эффективность их применения, однако к настоящему времени не создано приемлемой аналитической теории ОС для таких систем.

Физические области взаимодействия частиц и полей в виркаторе на пролетном пучке в простейшем случае показаны на рис.1.

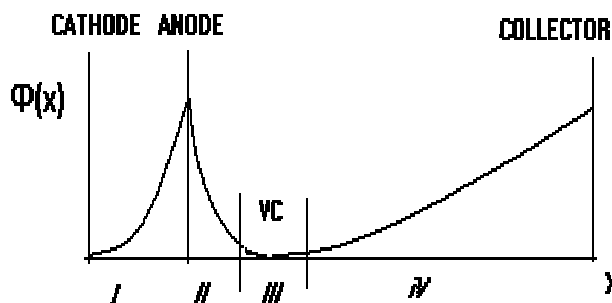


Рис.1. Характерные области виркатора: I - ускоряющий промежуток; II - область между анодом и ВК; III - область ВК; IV - область прошедшего электронного пучка

Области I - III содержат как прямой, так и отраженный от ВК пучки. В области I формируется электронный поток и ускоряется приложенной к катод-анодному промежутку разностью потенциалов $U(t)$. В области ВК (III) осуществляется отражение части прямого пучка, и возникают осцилляции электронов и полей. Характерный размер этой области в стационарном случае определяется близостью величин самосогласованного потенциала и эффективной температуры электронов вблизи ВК. В области IV распространяется прошедший через ВК

пучок.

В рассматриваемом подходе предполагается, что обратные связи формируются потоками частиц (ПОС) и электромагнитными полями (ЭМОС), вносимыми из других областей. Они могут быть промоделированы введением в конкретную область эффективного потенциала. Также учитывается, что динамика сильноточного диода формируется неустойчивостью потока в катод-анодном промежутке. Ниже представлена самосогласованная модель ПОС в виркаторе, учитывающая нестационарность процессов в диоде со сверхкритическим током и области ВК. Эта модель основывается на анализе стационарных состояний диодного промежутка и их устойчивости.

2. ТЕОРИЯ СТАЦИОНАРНЫХ СОСТОЯНИЙ ЭЛЕКТРОННОГО ПУЧКА В ДИОДЕ И АНАЛИЗ ИХ УСТОЙЧИВОСТИ

Замкнутые аналитические выражения для гидродинамических, полевых и спектральных характеристик потоков заряженных частиц в дрейфовом пространстве сильноточного пучка получены в работах [3-5].

Рассмотрим стационарные состояния в катод-анодном промежутке и их устойчивость. Исходными являются гидродинамические уравнения движения и непрерывности, а также уравнение Пуассона для электрического поля:

$$\frac{\partial v}{\partial t} + v \frac{\partial v}{\partial z} = \frac{\partial \Phi}{\partial z}; \quad \frac{\partial n}{\partial t} + \frac{\partial}{\partial z}(nv) = 0; \quad \frac{\partial^2 \Phi}{\partial z^2} = qn, \quad (1)$$

Единицами измерения плотности n , скорости v , координаты z и времени t являются характерные параметры для невозмущенного потока: n_0 , v_0 , длина диодного промежутка l и время пролета l/v_0 . Безразмерный потенциал электрического поля $\Phi = mv_0^2/2e$. Качественно поведение возмущенной системы определяется одним параметром $q = 4\pi e^2 n_0 l^2 / mv_0^2$.

Решением системы (1) в стационарном состоянии являются: постоянство плотности тока и закон сохранения энергии потока

$$n^0(z) = 1/v^0(z), \Phi^0(z) = v_0^2/2, \quad (2)$$

Используя интегралы (2), решение задачи дает следующее уравнение:

$$\frac{1}{3}(v_0 + C)^{3/2} = C(v_0 + C)^{1/2} = \mp \sqrt{\frac{q}{2}}(z - z_m). \quad (3)$$

Постоянная интегрирования $C = -v_m$ имеет смысл минимальной скорости электронов в области дрейфа, которая достигается в плоскости $z = z_m$. Верхний знак в формуле (3) соответствует времени пролета электрона, удовлетворяющему неравенству $v_0 < v_m$; при $v_0 > v_m$ - знак плюс.

Постоянные C и z_m определены из граничных условий: $v_0(z=0) = 1$, $v_0(z=1) = v_l$. По уравнению для минимальной скорости электронов в области дрейфа

$$(v_l - v_m)^{1/2}(v_l + 2v_m) + (1 - v_m)^{1/2}(1 + 2v_m) = (9q/2)^{1/2}. \quad (4)$$

Координата плоскости, в которой скорость потока минимальна

$$z_m = \frac{1}{2} - \frac{1}{3\sqrt{2q}} \left[(v_l - v_m)^{1/2}(v_l - 2v_m) - (1 - v_m)^{1/2}(1 + 2v_m) \right], \quad (5)$$

не больше половины длины диода. Максимальное значение достигается при $v_l = 1$.

Введем лагранжевы переменные τ и τ_0 (τ_0 - момент влета частиц в катод-анодный промежуток), определяемые формулой $v_0(\tau) = dz/d\tau$. Тогда стационарная скорость потока

$$v_0(\tau) = \frac{q}{2} \left(\tau - \frac{1}{\sqrt{q\gamma}} \right)^2 + v_m,$$

где v_m - минимальная скорость частиц, а параметр γ находится из уравнения (v_l - скорость на выходе из диода)

$$q(\gamma, v_l) = \frac{1}{\gamma} \left(1 - \frac{1}{3\gamma} + \frac{1}{3} \left(v_l + 2 - \frac{1}{\gamma} \right) \sqrt{2\gamma(v_l - 1) + 1} \right)^2. \quad (6)$$

В лагранжевых переменных уравнения стационарного состояния потока перепишем в виде

$$z = \frac{q}{6}\tau^3 - \frac{1}{2}\sqrt{\frac{q}{\gamma}}\tau^2 + \tau; v_m = 1 - \frac{1}{2\gamma}; v_0(\tau) = \frac{q}{2}\tau^2 - \sqrt{\frac{q}{\gamma}}\tau + 1. \quad (7)$$

Если предполагать, что $v_m > 0$ (режим прямого пучка), то, в соответствии с (7) $\gamma > 0.5$ (например, для дрейфового пространства: $\gamma = 0.5$ и $v_0 = v_l = 1$ получаем $q = 8/9$).

На входе в дрейфовое пространство параметры электронного потока связаны соотношением

$$(1 - v_m)(1 + 2v_m)^2 = \frac{9}{2}qz_m^2.$$

На рис.2 приведены зависимости q от γ для разных значений v_l и, следовательно, разных значений потенциала на аноде. Максимуму кривых соответствует значение $q_l = 2 \frac{(v_l + 1)^3}{9}$. При $v_l = 1$ предельный

ток равен 16/9.

Заметим, что время пролета ускоряющего промежутка ($z = z_l = 1$) для стационарного случая определяется выражением

$$\tau_1 = \frac{1}{\sqrt{q\gamma}} \left(1 + \sqrt{1 + 2\gamma(v_l - 1)} \right). \quad (8)$$

3. УРАВНЕНИЯ ДЛЯ ВОЗМУЩЕННЫХ ВЕЛИЧИН

Чтобы получить спектр собственных частот, рассмотрим отклонение скорости потока от стационарного значения.

После линеаризации уравнений (1) имеем

$$-i\omega\tilde{v}(z) + \frac{d}{dz} [v^0(z)\tilde{v}(z)] = \frac{d}{dz}\Phi(z), \quad (9)$$

$$-i\omega\tilde{n}(z) + \frac{d}{dz} [n^0(z)\tilde{v}(z) + \tilde{n}(z)v^0(z)] = 0, \quad (10)$$

$$\frac{d^2\Phi}{dz^2} = q\tilde{n}(z). \quad (11)$$

Объединяя (9)-(11), получаем следующее уравнение:

$$[v^0(z)]^3 \frac{d^2u}{dz^2} + qu = C_1 [v^0(z)]^2 \exp \left(-i\omega \int_0^z \frac{dz}{v^0(z)} \right), \quad (12)$$

где

$$u = v^0(z)\tilde{v}(z) \exp \left(-i\omega \int_0^z \frac{dz}{v^0(z)} \right), \quad (13)$$

а C_1 - постоянная интегрирования, представляющая собой величину, пропорциональную фурье-компоненте полного тока. Уравнение (12) можно решить в лагранжевых переменных. Используя формулы (7), перепишем (12) в виде:

$$v^0(\tau) \frac{d^2u}{d\tau^2} - \frac{dv^0(\tau)}{d\tau} \frac{du}{d\tau} + qu = C_1 [v^0(\tau)]^2 e^{-i\omega\tau}. \quad (14)$$

Решение уравнения (14) представим в виде суммы двух слагаемых $u(\theta) = u_h + u_p$, первое из которых есть решение однородного уравнения, а второе - частное решение. Действуя известными способами, найдем решение уравнения (14)

$$u(\theta) = D_1(\theta - 1) + D_2[\theta(\theta - 1) + 1 - 2\gamma] + C \left[1 - 2\gamma - \frac{2}{\sigma}(\theta - 1) - (\theta - 1)^2 \right] e^{-\theta\sigma}, \quad (15)$$

Причем лагранжева переменная обозначена как $\theta = \tau\sqrt{q\gamma}$, а параметр $\sigma = i\omega/\sqrt{q\gamma}$; $C = C_1/2q\gamma^2\sigma^2$; D_1, D_2 - постоянные интегрирования.

По известному возмущенному значению скорости могут быть найдены отклонения потенциала и плотности.

Перейдя в (9) от z к θ , получим формулу

$$\tilde{\Phi}(\theta) = \tilde{\Phi}(0) + \int_0^\theta \frac{du(x)}{dx} e^{\theta\sigma} dx, \quad (16)$$

Подстановка линеаризованной скорости (15) в (16) приводит к результату:

$$\begin{aligned} \tilde{\Phi}(\theta) = & \tilde{\Phi}(0) - \frac{D_1}{\sigma}(1 - e^{\theta}) - D_2 \left\{ e^{\theta} \left[\frac{1}{\sigma}(1 - 2\theta) + \frac{2}{\sigma^2} \right] - \left(\frac{1}{\sigma} + \frac{2}{\sigma^2} \right) \right\} + \\ & + C\sigma \left[\left(-\frac{2}{\sigma^2} - 1 + 2\gamma \right) \theta + \frac{(\theta - 1)^3 + 1}{3} \right]. \end{aligned}$$

Возмущение плотности может быть теперь найдено по уравнению (11)

$$\tilde{n}(\theta) = \frac{\gamma}{[v^0(\theta)]^2} \left[\frac{d^2\tilde{\Phi}}{d\theta^2} - \frac{1}{v^0(\theta)} \frac{dv^0(\theta)}{d\theta} \frac{d\tilde{\Phi}(\theta)}{d\theta} \right]. \quad (17)$$

Итак, теперь имеем формулы для трех линеаризованных величин гидродинамических параметров: скорости, плотности и потенциала электрического поля.

4. ЧАСТОТНЫЙ СПЕКТР ВОЛН ПРОСТРАНСТВЕННОГО ЗАРЯДА

Постоянные интегрирования в формуле (15) находим, удовлетворив граничным условиям:

$$\tilde{v}(z)|_{z=0} = 0, \tilde{n}(z)|_{z=0} = 0, \tilde{\Phi}(z)|_{z=0} = 0, \tilde{\Phi}(z)|_{z=1} = 0. \quad (18)$$

В соответствии с первым граничным условием на входе отсутствует возмущение скорости потока, поэтому согласно (13) $u(0) = 0$. Из (15) находим первое уравнение для постоянных интегрирования:

$$D_1 - D_2(1 - 2\gamma) + 2C \left(\gamma - \frac{1}{\sigma} \right) = 0. \quad (19)$$

Второе граничное условие в (18) обращает в нуль линеаризованную входную плотность, что дает второе уравнение:

$$\left(1 + \frac{1}{\sigma\gamma} \right) D_1 + \left| \frac{2}{\sigma} - \frac{1}{\gamma\sigma} - 1 \right| D_2 - \frac{2}{\gamma\sigma^2} C = 0. \quad (20)$$

Как видно, третье граничное условие не приводит к уравнению, отличному от (19).

Чтобы удовлетворить последнему граничному условию, необходимо в (7) перейти от лагранжевой переменной τ к параметру θ и решить кубическое уравнение. Подставив в выражение для потенциала $\theta = \theta_1$, получим третье уравнение:

$$D_1(e^{\theta_1} - 1) + D_2 \left[\left(2\theta_1 - 1 - \frac{2}{\sigma} \right) e^{\theta_1} + 1 + \frac{2}{\sigma} \right] + C\sigma^2 \left[\left(-1 + 2\gamma \frac{2}{\sigma^2} \right) \theta_1 + \frac{(\theta_1 - 1)^3 + 1}{3} \right] = 0.$$

Полученные уравнения являются однородными, поэтому чтобы иметь ненулевые решения, определитель, составленный из коэффициентов при неизвестных, должен быть равен нулю.

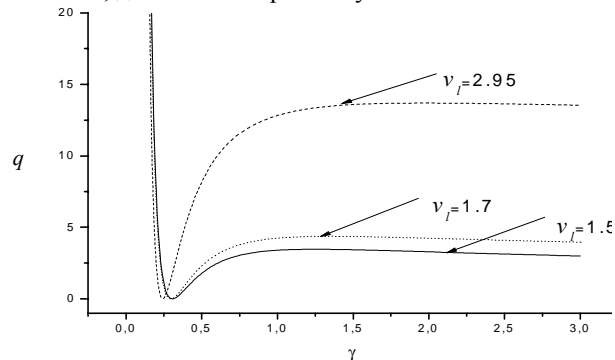


Рис. 2. Зависимость параметров q от γ при различных значениях v_1 (потенциалах на аноде)

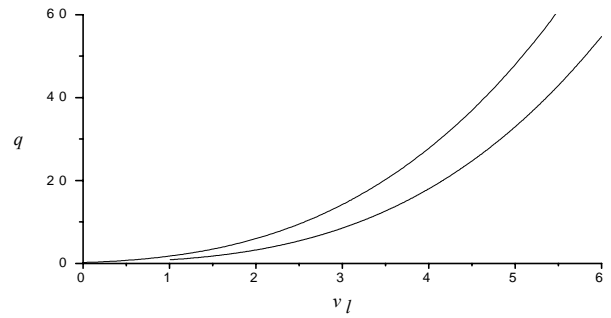


Рис. 3. Границы устойчивости потока в диоде на плоскости параметров (q, v_1)

Вычисления приводят к следующему уравнению для частотного спектра волн пространственного заряда, которые могут существовать в диоде в режиме без отражения частиц:

$$(2 - \theta_1\sigma)e^{\theta_1\sigma} - 2 - \frac{\sigma}{2}(\sigma^2 - 2\gamma\sigma^2 + 2)\theta_1 + \sigma^3 \frac{(\theta_1 - 1)^3 + 1}{6} = 0. \quad (21)$$

где лагранжевы угол пролета и частота, соответственно $\theta_1 = \tau_1 \sqrt{q\gamma}$ и $\sigma = i\omega / \sqrt{q\gamma}$,

Выражение (21) используется для исследования устойчивости потока. Введем переменную $\beta = \theta_1\sigma$, которая является углом пролета для данной спектральной компоненты. Тогда уравнение (21) приводится к виду:

$$(2 - \beta)e^{\beta} + \Gamma\beta^3 - \beta - 2 = 0, \quad (22)$$

где

$$\Gamma = \frac{1}{2\theta_1^2} \left(2\gamma - 1 + \frac{(\theta_1 - 1)^3 + 1}{3\theta_1} \right). \quad (23)$$

Неустойчивые решения соответствуют условию:

$$\text{Re } \beta > 0. \quad (24)$$

Решение (22), представляющее границу устойчивости потока в диоде, приведено на рис.3. Таким образом, получены выражения для частот и инкрементов колебаний $\text{Im } \beta$, которые возбуждаются в катод-анодном промежутке при выполнении условия неустойчивости $q_b < q < q_1$, где $q_b = q(0.5, v_1)$ (см. рис.3).

Отметим, что пролетная неустойчивость сильноточного диода зависит от следующих параметров физической системы: приложенной к промежутку разности потенциалов, размеров промежутка и параметров пучка, связанных с обобщенным параметром q , см. (6). При этом область неустойчивости находится между кривыми, имеющими при $v_1=1$ значения $q = 16/9$ и $8/9$, соответственно [4].

5. МОДЕЛЬ ОБРАТНОЙ СВЯЗИ ПО ПУЧКУ

Параметры системы должны быть выбраны таким образом, чтобы реализовать ПОС между областями I – III. В этом случае сигнал ОС, формируемый отраженными частицами, на начальной стадии явля-

ется «затравочным» для неустойчивости в катод-анодном промежутке. Усиленный этой неустойчивостью сигнал вносится прямым пучком в область III и дополнительно модулирует колебания ВК. Оптимальные условия ПОС соответствуют области неустойчивых режимов ВК - максимуму усиления в характерной для ВК области частот.

Таким образом, возникает физическая ситуация, соответствующая взаимодействию колебаний в катод-анодном промежутке и колебаний в области ВК, которое существенно зависит от степени ПОС, определяемой прозрачностью анода. Это взаимодействие может быть представлено динамикой двух связанных нелинейных осцилляторов Ван дер Поля – Дуффинга:

$$\frac{d^2\varphi_1}{dt^2} - 2\gamma_1 \left(1 - \frac{\varphi_1^2}{\varphi_{nl}^2}\right) \frac{d\varphi_1}{dt} + (\omega_1^2 + \alpha_1 \varphi_1^2) \varphi_1 = k_1 \varphi_2; \quad (25)$$

$$\frac{d^2\varphi_2}{dt^2} - 2\gamma_2 \left(1 - \frac{\varphi_2^2}{\varphi_{nl}^2}\right) \frac{d\varphi_2}{dt} + (\omega_2^2 + \alpha_2 \varphi_2^2) \varphi_2 = k_2 \varphi_1,$$

где φ_1 и φ_2 - потенциалы колебаний в области ВК и ускоряющего промежутка: k_1 и k_2 - прозрачности анода для прямого и отраженного пучка.

Известно, что по своей природе колебания в ускоряющем промежутке и в области ВК широкополосны. Используемая при анализе модель адекватно отражает нелинейную природу исходных объектов и их итоговые широкополосные спектры.

Далее рассматривается симметричный случай $k_1 = k_2 = k$. Здесь $\omega_1, \gamma_1, \omega_2, \gamma_2$ – частоты и инкременты соответствующих колебаний. Для колебаний в ускоряющем промежутке инкременты и частоты определялись из уравнения (22). Частота колебаний ВК предполагалась порядка электронной плазменной частоты пучка в области ВК.

На рис.4 приведены результаты решения системы (25) на плоскости (φ_1, φ_2) для разных прозрачностей анода. Как видно, при малой прозрачности (слабой ПОС) кривые на плоскости (φ_1, φ_2) имеют сложный характер и заполняют практически всю плоскость. С ростом прозрачности происходит синхронизация колебаний, разность фаз стабилизируется, и нелинейная система в целом генерирует в узкой области частот (максимального инкремента).

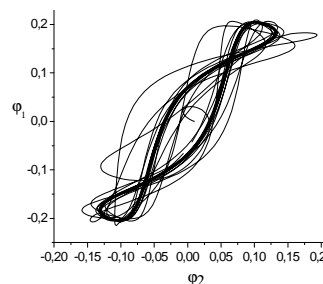
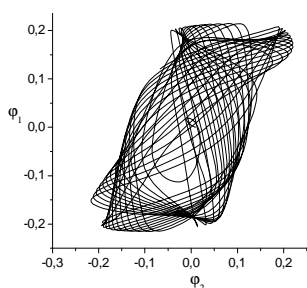


Рис. 4. Колебания двух связанных осцилляторов на плоскости (φ_1, φ_2)

Качественный анализ взаимодействующих осцилляторов и полей, проведенный для случая вакуумных пучковых систем [6], соответствует выводам нашей модели. Показано, что электронные колебания, воспринимающие дополнительную энергию, могут уменьшать свое затухание вплоть до отрицательных значений. Для нашего случая это соответствует возбуждению и росту амплитуды пролетных колебаний диода, приводящих к увеличению мощности и сужению спектра генерации виркатора.

6. ЗАКЛЮЧЕНИЕ

В работе предложены модели обратной связи и способы их организации. Рассмотрена устойчивость потока в ускоряющем промежутке. Найдены границы устойчивости в зависимости от параметров системы и частотные характеристики неустойчивости, связанной с особенностями динамики объемного заряда в диоде.

Предложен механизм обратной связи по пучку основанный на использовании неустойчивости в ускоряющем промежутке. Функционирование обратной связи промоделировано двумя связанными по пучку нелинейными осцилляторами Ван дер Поля Дуффинга. Показана синхронизация колебаний ВК и колебаний в ускоряющем промежутке в результате ПОС.

ЛИТЕРАТУРА

1. Н.П.Гадецкий, И.И.Магда, С.И.Найстетер, Ю.В.Прокопенко, В.И. Чумаков // *Физика плазмы*. 1993, т.19, в.4, с.530.
2. С.Д.Коровин, И.В.Пегель, С.Д.Полевин, В.В.Ростов // *Вакуумная электроника*: Сб. обзор. Нижний Новгород, 2002, с.149.
3. А.В.Пашенко, Б.Н.Руткевич // *Физика плазмы*. 1977, т.3, с.774.
4. А.В.Пашенко, Б.Н.Руткевич // *Радиоэлектроника и техника*. 1979, т.24, с.152.
5. А.В.Пашенко, Б.Н.Руткевич, В.Д.Федорченко, Ю.П.Мазалов // *ЖТФ*. 1983, т.53, в.1, с.75.
6. Л.А.Вайнштейн // *Радиотехника и электроника*. 1990, т.35, №4, с.837.